

УДК 621.0

## ДВИЖЕНИЕ НЕУРАВНОВЕШЕННОГО РОТОРА С ЖИДКОСТНЫМ АВТОБАЛАНСИРУЮЩИМ УСТРОЙСТВОМ ПРИ НАРАСТАЮЩЕЙ ПО ЛИНЕЙНОМУ ЗАКОНУ УГЛОВОЙ СКОРОСТИ

В.А. Дубовик, Е.Н. Пашков

Томский политехнический университет

E-mail: epashkov@rambler.ru

*Исследуются колебания ротора с автоматическим балансирующим устройством на гибком валу при переходе через критическую скорость. Дифференциальные уравнения, описывающие движение механической системы в горизонтальной плоскости, решаются численным методом Рунге-Кутты. Результаты расчетов сравниваются с известными для ротора без балансирующего устройства.*

Для автоматического устранения неуравновешенности вращающихся роторов используют различные жидкостные автобалансирующие устройства (АБУ) [1]. При переходе через критическую скорость происходит увеличение амплитуды колебаний дисбаланса системы – наступает резонанс.

Поэтому необходимо исследование влияния АБУ на нестационарные процессы при изменении закона вращательного движения ротора. Случай скачкообразного изменения угловой скорости ротора с АБУ исследован в [2]. Ниже изучаются колебания системы с учетом сил внешнего сопротивления – демпфирования, возникающего при переходе через резонанс в случае равноускоренного вращения вала.

В соответствии с рис. 2 [2] рассмотрим движение ротора, содержащего камеру с поплавком, заполненную однородной несжимаемой жидкостью, симметрично закрепленного на гибком вертикальном валу, проходящем через его геометрический центр  $O_1$ . Центр масс ротора (точка  $P$ ) смещен от  $O_1$  на расстояние  $O_1P=e$ . Точка  $O_2$  – проекция оси опор вала на плоскость движения. При вращении ротора вал прогибается в месте крепления ротора на величину  $O_2O_1=\delta$ , поплавок 2, для которого геометрическая и материальная оси симметрии совпадают, так же как в поплавковых гироскопах [3] центрируется на оси вращения  $O_2$ , и жидкость перетекает в сторону прогиба. Предполагаем, что при нестационарном движении ротора отрыв жидкости от стенок не происходит, и центрирование поплавка сохраняется. В этом случае центр масс слоя жидкости расположен на линии центров в точке  $G$ . Сформулированные допущения позволяют исключить из рассмотрения гидродинамическую задачу.

По аналогии с [4] введем в плоскости движения точек  $O_1, G, P$  две системы координат с общим началом в точке  $O_2$ : неподвижную систему  $O_2\xi\eta$  и подвижную  $O_2xy$ , ось  $O_2x$  которой параллельна отрезку  $O_1P$ . Законы вращательного движения ротора и системы  $O_2xy$  определяются одним и тем же углом поворота  $\beta(t)$  ( $t$  – время), следовательно ротор в подвижной системе координат может перемещаться только поступательно.

Координаты точки  $O_1$  – точки пересечения вала с плоскостью движения обозначим через  $x, y$  и  $\xi, \eta$  соответственно в подвижной и неподвижной системах координат. Связь между ними устанавливается известными формулами

$$\begin{aligned} \xi &= x \cos \beta - y \sin \beta; \\ \eta &= x \sin \beta + y \cos \beta. \end{aligned} \quad (1)$$

На ротор со стороны вала действует сила упругости  $\vec{F}_c = -cO_2O_1$  и сила внешнего трения, пропорциональная абсолютной скорости точки  $O_1$  ( $\vec{V}_{O_1}$ ),  $\vec{F}_\chi = -\chi\vec{V}_{O_1}$ , где  $c$  и  $\chi$  – коэффициенты упругости и внешнего трения. Условие равновесия всех внешних сил и сил инерции запишется в виде

$$-c\vec{O_2O_1} - \chi\vec{V}_{O_1} - m_1\vec{a}_P - m_2\vec{a}_G = 0. \quad (2)$$

Здесь  $m_1$  и  $m_2$  – массы ротора и жидкости;  $\vec{a}_P$  и  $\vec{a}_G$  – ускорения центров масс ротора и жидкости соответственно. Координаты точек  $P$  и  $G$  определяются выражениями

$$\begin{aligned} \xi_P &= \xi + e \cos \beta; & \eta_P &= \eta + e \sin \beta; \\ \xi_G &= r\xi; & \eta_G &= r\eta, \end{aligned} \quad (3)$$

где  $r=r_1^2/(r_1^2-r_2^2)$ ;  $r_1$  и  $r_2$  – радиусы камеры и поплавка соответственно.

Проецируя (2) на неподвижные оси координат и используя (3) для вычисления ускорений, получаем дифференциальные уравнения движения ротора с АБУ

$$\begin{aligned} m\ddot{\xi} + \chi\dot{\xi} + c\xi &= m_1e(\cos \beta \cdot \beta^2 + \sin \beta \cdot \dot{\beta}), \\ m\ddot{\eta} + \chi\dot{\eta} + c\eta &= m_1e(\sin \beta \cdot \beta^2 - \cos \beta \cdot \dot{\beta}). \end{aligned} \quad (4)$$

Здесь  $m=m_1+rm_2$ , точки сверху означают производные по времени.

Из уравнения равновесия моментов всех сил относительно оси  $O_2$  можно определить крутящий момент, обеспечивающий заданное вращение вала по закону  $\beta=\beta(t)$ .

Полагая в (4)  $\dot{\beta}=\omega_0=\text{const}$ , получаем стационарное движение, т.е. круговое движение вала с постоянной стрелой прогиба

$$\begin{aligned} \xi_0 &= D[(c - m\omega_0^2) \cos \omega_0 t + \chi\omega_0 \sin \omega_0 t], \\ \eta_0 &= D[(c - m\omega_0^2) \sin \omega_0 t - \chi\omega_0 \cos \omega_0 t], \\ D &= m_1e\omega_0^2 / [(c - m\omega_0^2)^2 + \chi^2\omega_0^2]. \end{aligned} \quad (5)$$

Пусть начиная с начального момента времени угловая скорость ротора начала изменяться по закону

$$\dot{\beta} = \omega = \omega_0 + 2\varepsilon \cdot t, \quad (6)$$

где  $\omega_0$  – начальная угловая скорость, соответствующая стационарному движению (5),  $2\varepsilon$  – угловое ускорение.

Начальными условиями движения, аналогично [3], следует взять значения  $\xi_0, \eta_0$  и их производные по времени при  $t=0$  из (5)

$$\begin{aligned} \xi_0(0) &= D(c - m\omega_0^2); \quad \eta_0(0) = -D\chi\omega_0; \\ \dot{\xi}_0(0) &= D\chi\omega_0^2; \quad \dot{\eta}_0(0) = D(c - m\omega_0^2) \cdot \omega_0. \end{aligned} \quad (7)$$

Из (4) находим связь между критическими угловыми скоростями системы ротор-АБУ  $\Omega = \sqrt{c/m}$  и самого ротора на гибком валу  $\Omega_0 = \sqrt{c/m_1}$

$$\Omega = \Omega_0 \sqrt{\psi}, \quad (8)$$

где  $\psi = m_1/m = 1/(1 + m_2/m_1)$ .

Соотношение (8) показывает, что с уменьшением параметра  $\psi$ , характеризующего конструкцию жидкостного АБУ, критическая скорость системы убывает по закону  $\sqrt{\psi}$ . Решение уравнений (4) можно получить в форме интегралов от произведений тригонометрических функций с малыми периодами, численная реализация которого требует вычислений в большом числе точек [4]. Поэтому для определения прогиба вала и дисбаланса системы предпочтительно перейти в (4, 5) по формулам (1) к координатам  $x, y$  точки  $O_2$  подвижной плоскости. Уравнения движения и начальные условия принимают вид

$$\begin{aligned} m(\ddot{x} - 2\dot{\beta}\dot{y} - \ddot{\beta}y - \dot{\beta}^2x) + cx + \chi(\dot{x} - \dot{\beta}y) &= m_1e\dot{\beta}^2, \\ m(\ddot{y} + 2\dot{\beta}\dot{x} + \ddot{\beta}x - \dot{\beta}^2y) + cy + \chi(\dot{y} + \dot{\beta}x) &= -m_1e\ddot{\beta}. \end{aligned} \quad (9)$$

$$\begin{aligned} x(0) &= D(c - m\omega_0^2), \quad y(0) = -D\chi\omega_0, \\ \dot{x}(0) &= 0, \quad \dot{y}(0) = 0. \end{aligned} \quad (10)$$

Здесь  $\dot{\beta}$  изменяется по закону (6).

Прогиб вала  $\delta$  и дисбаланс системы  $(m_1+m_2)r_c$  ( $r_c$  – отклонение центра масс от оси вращения), отнесенный к начальному дисбалансу ротора  $m_1e$ , запишутся в виде

$$\begin{aligned} \delta &= \sqrt{x^2(t) + y^2(t)}, \\ d &= \frac{(m_1+m_2)r_c}{m_1e} = \sqrt{[x(t)/(e\psi) + 1]^2 + [y(t)/(e\psi)]^2}. \end{aligned} \quad (11)$$

Задачи (9, 10) решаются численно методом Рунге-Кутты четвертого порядка точности с автоматическим выбором шага [5]. На каждом шаге вычисляются значения прогиба, дисбаланса по формулам (11) и значение угловой скорости, соответствующее расчетному моменту времени по ур. (6).

Расчеты проведены для данных, используемых в [4] для ротора без АБУ:  $\Omega_0 = 10^3 \text{ c}^{-1}$ ,  $\varepsilon = 10 \text{ c}^{-2}$ , начальная угловая скорость вала полагалась  $\omega_0 = 40 \text{ c}^{-1}$ . Установлено, что изменение прогиба вала и дисбаланса системы сильно зависят от силы внешнего трения, т.е. от отношения  $n = \chi/m_1$ . На рис. 1 показаны зависимости  $\delta/e$  и  $d$  от  $z = \omega/\Omega_0$  при равноускоренном переходе угловой скорости через критическую  $\Omega_0$  при различных значениях  $\psi$  ( $\psi = 1$  – соот-

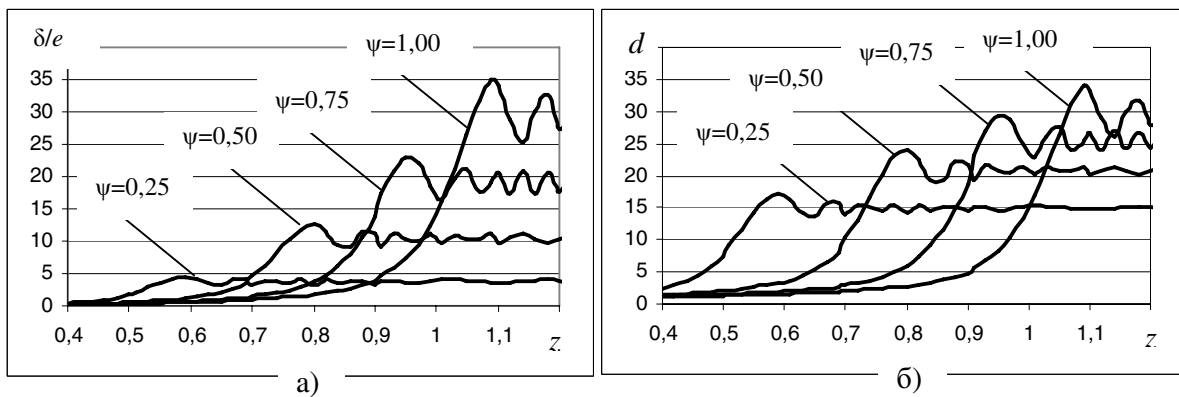


Рис. 1. Зависимость: а) прогиба вала  $\delta/e$  и б) дисбаланса системы  $d$  от  $z = \omega/\Omega_0$  при  $n=0$

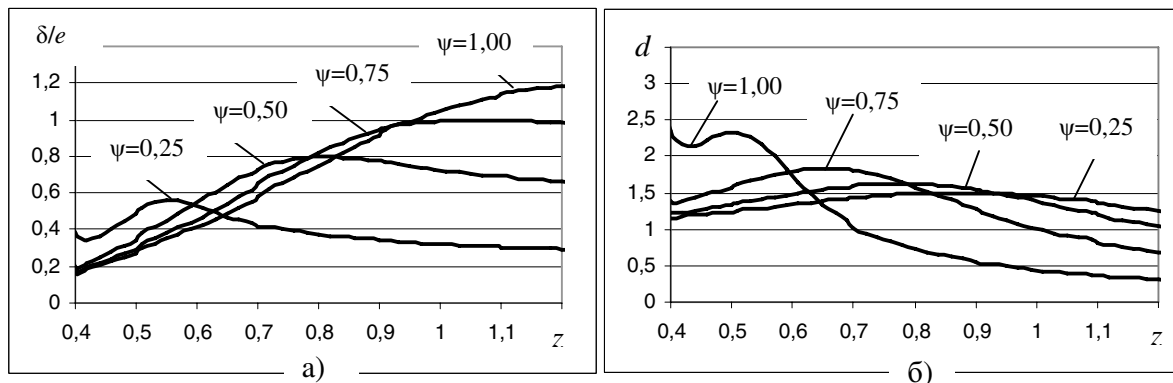


Рис. 2. Зависимость: а) прогиба вала  $\delta/e$  и б) дисбаланса системы  $d$  от  $z = \omega/\Omega_0$  при  $n=100 \text{ c}^{-1}$

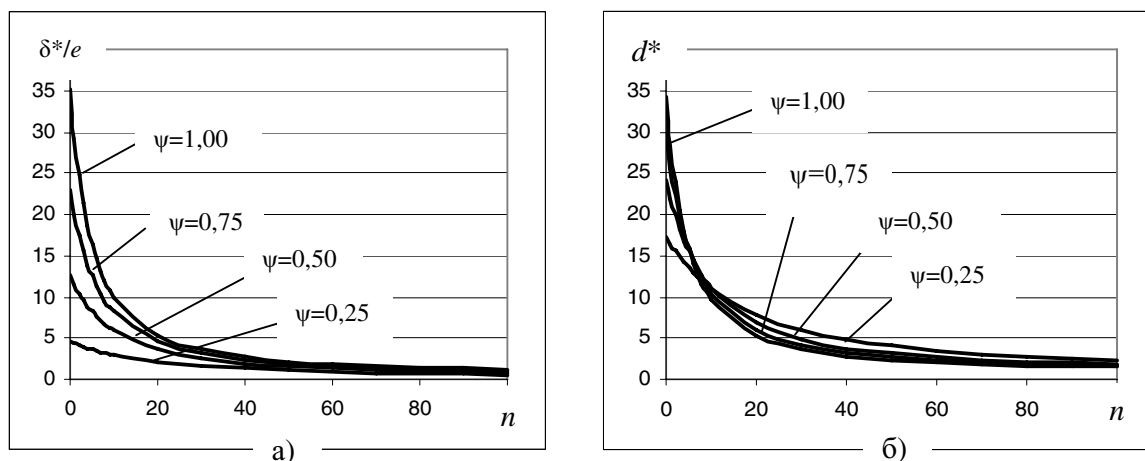


Рис. 3. Изменение: а) максимального прогиба вала  $\delta^*/e$  и б) дисбаланса системы  $d^*$  от  $n$

ветствует ротору без АБУ) для  $n=0$ , а на рис. 2 – для  $n=100 \text{ с}^{-1}$ . Из этих рисунков видно, что изменения дисбаланса системы для  $n=0$  и  $n=100 \text{ с}^{-1}$  резко отличаются друг от друга, так для первого случая максимальные отклонения дисбаланса системы при всех значениях  $\psi$  меньше, а для второго случая больше отклонения дисбаланса ротора без АБУ. Смена характеристики изменения дисбаланса наступает при  $n=5 \text{ с}^{-1}$ . Прогиб вала системы при всех  $n$  меньше, чем для ротора без жидкости. Кривая при  $\psi=1$  на рис. 1, а, совпадает с соответствующей кривой для чистого ротора, приведенной в [4], что подтверждает точность расчета. На рис. 3 показаны зависимости максимального прогиба вала  $\delta^*/e$  и дисбаланса системы  $d^*$  от  $n$  при различных значениях  $\psi$ .

По этим кривым для каждого  $n$  можно выбрать  $\psi$ , чтобы обеспечить переход системы через критическую угловую скорость с допустимыми прогибом и дисбалансом.

Сравнивая полученные результаты с [2], заключаем, что максимальная амплитуда колебаний дисбаланса ротора с АБУ при скачкообразном переходе через резонанс значительно больше, чем в рассмотренном случае, для больших сил сопротивления ( $n=100 \text{ с}^{-1}$ ). Из сказанного следует, что жидкостное АБУ снижает критическую скорость, а при линейном нарастании и вибрацию ротора.

#### СПИСОК ЛИТЕРАТУРЫ

1. Гусаров А.А. Автобалансирующие устройства прямого действия. – М.: Наука, 2002. – 119 с.
2. Дубовик В.А., Пашков Е.Н. Нестационарное движение неуравновешенного ротора с жидкостным автобалансирующим устройством при скачкообразном изменении угловой скорости // Известия Томского политехнического университета. – 2005. – Т. 308. – № 5. – С. 123–125.

#### Выводы

1. Показано, что квадрат критической угловой скорости системы ротор – АБУ изменяется по линейному закону с уменьшением параметра  $\psi$ , характеризующего конструкцию жидкостного автобалансирующего устройства.
2. При равноускоренном нарастании угловой скорости (с переходом ее через критическую) максимальный дисбаланс системы для малых сил внешнего трения становится меньше, а для больших сил – больше дисбаланса ротора, максимальный прогиб вала при любом внешнем трении уменьшается с уменьшением параметра  $\psi$ . С увеличением угловой скорости в закритической области дисбаланс системы за счет её самоцентрирования становится меньше дисбаланса ротора.
3. Переходный процесс зависит от закона изменения угловой скорости вала. При плавном её увеличении амплитуда колебаний дисбаланса и прогиба вала меньше чем при скачкообразном процессе.
4. Результаты расчетов переходного процесса следует учитывать при конструировании жидкостного АБУ и выборе режима нарастания угловой скорости, т.к. возникающая вибрация зависит от  $\psi$  и способа перехода через резонанс.

3. Андрейченко К.П. Динамика поплавковых гироскопов и акселерометров. – М.: Машиностроение, 1987. – 128 с.
4. Диментберг Ф.М. Изгибные колебания вращающихся валов. – М.: Изд-во АН СССР, 1959. – 246 с.
5. Шуп Т. Решение инженерных задач на ЭВМ. – М.: Мир, 1982. – 238 с.